

Ю. Е. ВОСКОБОЙНИКОВ

(*Новосибирск*)

**ЭФФЕКТИВНЫЙ АЛГОРИТМ РЕШЕНИЯ
ПЛОХО ОБУСЛОВЛЕННЫХ СИСТЕМ УРАВНЕНИЙ
ПРИ ИНТЕРПРЕТАЦИИ ЭКСПЕРИМЕНТАЛЬНЫХ ДАННЫХ**

К системе линейных алгебраических уравнений (СЛАУ) вида

$$\mathbf{K}\varphi = \mathbf{f} \quad (1)$$

приводят многие задачи интерпретации экспериментальных данных (например, оценивание параметров математических моделей, восстановление функциональных зависимостей параметрическими методами). Конечно-мерная аппроксимация интегральных уравнений I рода также вынуждает обратиться к СЛАУ (1). Как правило, система (1) плохо обусловлена или вырождена, и для построения устойчивого (регуляризованного) решения используются различные методы регуляризации [1, 2]. При этом учет достоверной нетривиальной априорной информации о векторе φ может существенно повысить точность решения СЛАУ. В последнее время для построения регуляризованного решения используется сингулярное разложение матрицы \mathbf{K} . Однако алгоритмы, учитывающие априорную информацию при таком построении решения, остались без внимания.

В данной работе излагается метод нахождения регуляризованного решения на основе сингулярного разложения матрицы, учитывающий априорную информацию о принадлежности вектора φ выпуклому множеству. Вводятся характеристики, определяющие точность и информативность построенного решения.

Регуляризующий алгоритм решения СЛАУ. Пусть для определенности матрица \mathbf{K} имеет размер $N_f \times N_\varphi$, а φ , \mathbf{f} — векторы соответствующей размерности. Сингулярным разложением матрицы \mathbf{K} называется представление [3] $\mathbf{K} = \mathbf{U}\Lambda\mathbf{V}^t$, в котором \mathbf{U} , \mathbf{V} — ортогональные матрицы размером $N_f \times N_f$, $N_\varphi \times N_\varphi$, t — символ транспонирования матрицы, а Λ — $(N_f \times N_\varphi)$ -матрица с элементами

$$\{\Lambda\}_{i,j} = \begin{cases} \lambda_i, & i = j; \\ 0, & i \neq j. \end{cases}$$

Величины λ_i , $i = 1, 2, \dots, N_\varphi$, называются сингулярными числами матрицы \mathbf{K} , а столбцы \mathbf{u}_j , \mathbf{v}_i матриц \mathbf{U} , \mathbf{V} — левыми и правыми сингулярными векторами. В силу ортогональности матриц \mathbf{U} , \mathbf{V} справедливо $\mathbf{U}^t\mathbf{U} = \mathbf{U}\mathbf{U}^t = \mathbf{I}$, $\mathbf{V}^t\mathbf{V} = \mathbf{V}\mathbf{V}^t = \mathbf{I}$ (\mathbf{I} — единичная матрица соответствующей размерности). Предположим, что: а) $N_f \geq N_\varphi$; б) сингулярные числа упорядочены: $\lambda_1 \geq \lambda_2 \geq \dots \geq \lambda_{N_\varphi} \geq 0$; в) вместо точной правой части \mathbf{f} задан вектор $\tilde{\mathbf{f}} = \mathbf{f} + \eta$, где η — случайный вектор с нулевым средним, отражающий погрешность (шум) задания правой части уравнения (1).

Введя векторы $\mathbf{x} = \mathbf{V}^t\varphi$, $\tilde{\mathbf{y}} = \mathbf{U}^t\tilde{\mathbf{f}}$ и используя разложение $\mathbf{K} = \mathbf{U}\Lambda\mathbf{V}^t$, СЛАУ (1) можно переписать в виде трех подсистем [3]:

$$\begin{aligned} \lambda_j x(j) &= \tilde{y}(j), \quad \lambda_j \neq 0, \quad 1 \leq j \leq N_\varphi, \\ 0x(j) &= \tilde{y}(j), \quad \lambda_j = 0, \quad 1 \leq j \leq N_\varphi; \\ 0 &= \tilde{y}(j), \quad N_\varphi + 1 \leq j \leq N_f, \end{aligned} \quad (2)$$

из которых следует, что система (1) совместна, если $\tilde{y}(j) = 0$ для $N_\varphi < j \leq N_f$ и $\tilde{y}(j) = 0$ для $\lambda_j = 0$, $1 \leq j \leq N_\varphi$. Система имеет единственное решение, если $\lambda_j > 0$ для $1 \leq j \leq N_\varphi$, т. е. ранг матрицы \mathbf{K} равен N_φ . В случаях, когда система (1) несовместна или имеет не единственное решение, переходят к нормальному решению φ_n [4], в качестве которого

принимают вектор, имеющий минимальную норму из всех векторов, доставляющих минимум функционалу $(\mathbf{K}\varphi - \tilde{\mathbf{f}})^T(\mathbf{K}\varphi - \tilde{\mathbf{f}})$. Можно показать, что $\varphi_n = \mathbf{V}\mathbf{x}_n$, а проекции $x_n(j)$ вектора \mathbf{x}_n определяются соотношением

$$x_n(j) = \begin{cases} \tilde{y}(j)/\lambda_j, & \lambda_j \neq 0, \quad 1 \leq j \leq N_\varphi; \\ 0, & \lambda_j = 0, \quad 1 \leq j \leq N_\varphi. \end{cases} \quad (3)$$

Описанный метод построения нормального решения на основе сингулярного разложения (как, впрочем, и другие методы [1]) чувствителен к погрешности правой части и ошибкам вычислительного процесса, реализующего алгоритм. Действительно, пусть $\lambda_j = 0$, а в результате разложения матрицы \mathbf{K} получено значение $\tilde{\lambda}_j = \varepsilon > 0$. Тогда компонента $x_n(j) = \tilde{y}(j)/\tilde{\lambda}_j$ определяется погрешностью правой части, и это может привести к существенным ошибкам в φ_n . Устойчивое к таким ошибкам решение можно определить как $\varphi_\alpha = \mathbf{V}\mathbf{x}_\alpha$, где

$$x_\alpha(j) = r_\alpha(j)\tilde{y}(j), \quad r_\alpha(j) = 1/(\lambda_j + \alpha m(\lambda_j)), \quad (4)$$

α — параметр регуляризации, $m(\lambda)$ — невозрастающая функция, например, $m(\lambda) = \lambda^{-k}$, $k \geq 1$. При соответствующем выборе параметра α решение φ_α является регуляризованным [1].

Физический смысл $r_\alpha(j)$ прост. Значениям $\lambda_j \approx 0$ соответствуют малоинформативные компоненты $\tilde{y}(j)$, так как $\lambda_j x(j) \approx 0$ и $\tilde{y}(j)$ в основном определяется проекцией вектора шума $\vartheta(j) = \mathbf{u}_j^T \eta$. Если $\alpha m(\lambda_j)$ таково, что $\lambda_j \ll \alpha m(\lambda_j)$, то происходит уменьшение (по сравнению с нормальным решением) влияния $\tilde{y}(j)$ на $x_\alpha(j)$ в $\alpha m(\lambda_j)/\lambda_j$ раз. В то же время для $\lambda_j \gg \alpha m(\lambda_j)$ множитель $r_\alpha(j) \approx 1/\lambda_j$ и ослабления $\tilde{y}(j)$ не происходит.

Информативность компоненты $\tilde{y}(j)$ можно оценить количественно. Обозначим через $\sigma_\vartheta^2(j)$ дисперсию проекции шума $\vartheta(j) = \mathbf{u}_j^T \eta$, а через $x(j)$ проекцию точного решения $\mathbf{x} = \mathbf{V}^T \varphi$. Тогда информативность j -й компоненты определим соотношением сигнал/шум $S(j) = \lambda_j^2 x^2(j)/\sigma_\vartheta^2(j)$. Видно, что при $\lambda_j \approx 0$ и конечной дисперсии $\sigma_\vartheta^2(j) > 0$ величина $S(j) \approx 0$. Можно показать, что минимум среднеквадратической ошибки решения достигается, если $\alpha m(\lambda_j) = \lambda_j/S(j)$, $1 \leq j \leq N_\varphi$, и, следовательно, величина параметра регуляризации должна согласовываться с информативностью проекций вектора \tilde{y} . Не останавливаясь на выборе α , заметим только, что существующие алгоритмы выбора [1, 2, 4] могут быть эффективно реализованы с использованием сингулярного разложения матрицы \mathbf{K} . В дальнейшем параметр регуляризации полагается известным.

Рассмотрим информационную обеспеченность различных проекций построенного решения. Первоначально остановимся на нормальном решении φ_n . Введем множество J_ε , состоящее из n_ε индексов j : $1 \leq j \leq N_\varphi$, удовлетворяющих условию $\lambda_j \leq \varepsilon$. Если $\varepsilon = 0$, то количество элементов в J_ε определяет дефект матрицы \mathbf{K} : $n_0 = N_\varphi - \text{rank}(\mathbf{K})$. В общем случае $\varepsilon > 0$ величина n_ε равна размерности подпространства, состоящего из малоинформационных проекций $\tilde{y}(j)$. Посмотрим, как размерность этого подпространства распределяется между проекциями вектора φ_n . Обозначим через $D_{\varphi, \varepsilon}(j) = \sum_{h \in J_\varepsilon} v_{j,h}^2$, где $v_{j,h} = j$, h -й элемент матрицы \mathbf{K} .

С учетом ортогональности матрицы \mathbf{V} имеем

$$\sum_{j=1}^{N_\varphi} D_{\varphi, \varepsilon}(j) = \sum_{h \in J_\varepsilon} \sum_{j=1}^{N_\varphi} v_{j,h}^2 = \sum_{h \in J_\varepsilon} 1 = n_\varepsilon.$$

Следовательно, величина $D_{\varphi, \varepsilon}(j)$ характеризует распределение размерности n_ε по проекциям построенного решения, и поэтому $D_{\varphi, \varepsilon}(j)$ можно назвать дефектом j -й проекции решения φ_n . Заметим, что $0 \leq D_{\varphi, \varepsilon}(j) \leq 1$ и значение $D_{\varphi, \varepsilon}(j) \approx 1$ свидетельствует о малой информационной обеспеченности j -й проекции построенного решения. Аналогично для $D_{f, \varepsilon}(j) =$

$= \sum_{h \in J_\varepsilon} u_{j,h}^2$ имеем

$$\sum_{j=1}^{N_f} D_{f,\varepsilon}(j) = \sum_{h \in J_\varepsilon} \sum_{j=1}^{N_f} u_{j,h}^2 = \sum_{h \in J_\varepsilon} 1 = n_\varepsilon$$

и величина $D_{f,\varepsilon}(j)$ (которую можно назвать дефектом j -й проекции вектора \mathbf{f}) характеризует распределение размерности n_ε по проекциям правой части системы (1). Так как $0 \leq D_{f,\varepsilon}(j) \leq 1$, то проекция $f(j)$, для которой $D_{f,\varepsilon}(j) \approx 1$, содержит мало информации об искомом решении Φ . Этот факт следует иметь в виду при планировании эксперимента (он позволяет, например, исключить измерение $f(j)$ из плана эксперимента). Для регуляризованного решения Φ_α множество J_ε можно определить как $J_\varepsilon = \{j : \lambda_j / (1 + \alpha m(\lambda_j)/\lambda_j) \leq \varepsilon\}$ и величины $D_{f,\varepsilon}(j)$, $D_{\Phi,\varepsilon}(j)$ сохраняют прежний смысл.

Точностные характеристики регуляризующего алгоритма. Вектор ошибки решения СЛАУ (1) зададим как $\varepsilon_\alpha = \Phi_\alpha - \Phi$ и представим его в виде $\varepsilon_\alpha = \mathbf{b}_\alpha + \xi_\alpha$, где $\xi_\alpha = \Phi_\alpha - \bar{\Phi}_\alpha$ — случайный вектор с нулевым средним, обусловленный «передачей» погрешности правой части, а $\mathbf{b}_\alpha = \Phi_\alpha - \bar{\Phi}_\alpha$ — систематическая ошибка регуляризации. Вектор $\bar{\Phi}_\alpha$ — регуляризованное решение, построенное при точной правой части СЛАУ. Из представлений $\mathbf{f} = \mathbf{U} \Lambda \mathbf{V}^T \Phi$, $\bar{\Phi}_\alpha = \mathbf{V} \operatorname{diag}\{r_\alpha(1), \dots, r_\alpha(N_\Phi)\} \mathbf{U}^T \mathbf{f}$ следует запись Φ_α в виде

$$\bar{\Phi}_\alpha = \mathbf{V} \operatorname{diag}\{\lambda_1 r_\alpha(1), \lambda_2 r_\alpha(2), \dots, \lambda_{N_\Phi} r_\alpha(N_\Phi)\} \mathbf{V}^T \Phi = \mathbf{A}_\alpha \Phi. \quad (5)$$

Если ранг матрицы \mathbf{K} равен N_Φ , то $\bar{\Phi}_\alpha = \Phi$ только в случае $\mathbf{A}_\alpha = \mathbf{I}$, однако при $\alpha > 0$ $\mathbf{A}_\alpha \neq \mathbf{I}$ и $\bar{\Phi}_\alpha$ будет отличаться от Φ . Такое отличие естественно трактовать как искажение, вносимое регуляризующим алгоритмом (4), а матрицу \mathbf{A}_α можно назвать матрицей рассеяния регуляризующего алгоритма.

Несмотря на свою простоту, выражение (5) неприменимо на практике для вычисления Φ_α , так как вектор Φ неизвестен. Поэтому целесообразно (по аналогии с [5]) величину систематической ошибки косвенно характеризовать через параметры матрицы \mathbf{A}_α , элементы которой обозначим $a_{i,j}$. Для каждой i -й строки матрицы \mathbf{A}_α введем ширину $\Delta_\alpha(i) = 2(k-1)$, где

$$k = \min_l \{l : |a_{i,i+l}| / |a_{i,i}| \leq 0.4\},$$

имеющую простой физический смысл. Если в векторе Φ есть две проекции (например, $\Phi(l')$ и $\Phi(l'')$), то эти проекции будут различимы в решении Φ_α при $|l' - l''| > (\Delta_\alpha(l') + \Delta_\alpha(l''))/2$. Наряду с шириной $\Delta_\alpha(i)$, не учитывающей наличие удаленных от главной диагонали элементов матрицы рассеяния, можно рассмотреть такие «интегральные» характеристики, как отношение решение/фон:

$$0_\alpha(i) = |a_{i,i}| / \left(\sum_{j \neq i} a_{i,j}^2 \right)^{1/2},$$

или k -й момент i -й строки матрицы \mathbf{A}_α :

$$\mu_\alpha^k(i) = \sum_{j=1}^{N_\Phi} |i-j|^k |a_{i,j}|.$$

Способность регуляризующего алгоритма «подавлять» погрешности правой части характеризуем коэффициентом передачи дисперсии этой погрешности. Для нахождения коэффициента предположим, что корреляционная матрица вектора η имеет вид $\sigma_\eta^2 \mathbf{I}$. Положив дисперсию $\sigma_\eta^2 = 1$, вычислим дисперсии проекций $\xi_\alpha(j)$ случайной ошибки решения, кото-

рые и будут определять коэффициенты передачи дисперсии, обозначаемые ниже как $K_\alpha(j)$. Нетрудно показать, что

$$K_\alpha(j) = \sum_{m=1}^{N_\Phi} v_{j,m}^2 r_\alpha^2(m).$$

Если $\alpha = 0$, то выражение

$$K_0(j) = \sum_{m=1}^{N_\Phi} v_{j,m}^2 / \lambda_m^2$$

объясняет низкую устойчивость нормального решения плохо обусловленной СЛАУ ($\lambda_j \approx 0$) к погрешности правой части.

В целом для регуляризующего алгоритма (4) можно ввести: 1) ширину $\Delta_\alpha = \max_i \Delta_\alpha(i)$; 2) средний коэффициент передачи дисперсии r_α в случае, если решение, полученному из (4), можно назвать точностными характеристиками регуляризующего алгоритма. Использование этих величин позволяет провести анализ полученного решения. Большой практический интерес представляет выбор α исходя из заданных точностных характеристик (аналогично выбору параметра сверточного алгоритма вычислительной томографии [5]), однако это предмет другого исследования.

Построение регуляризованного решения с учетом априорной информации. Предположим, что априори известно о принадлежности решения φ выпуклому множеству Φ , задаваемому системой линейных неравенств:

$$\mathbf{G}\varphi \leqslant \mathbf{g}, \quad (6)$$

где \mathbf{G} — матрица размером $N_g \times N_\varphi$. Трудность использования такой информации обусловлена тем, что регуляризованное решение определяется через вектор \mathbf{x}_α , при построении которого трудно учесть ограничения (6). Покажем одну возможность эффективного использования априорной информации вида $\varphi \in \Phi$, где множество Φ задается системой неравенств (6).

Введем диагональную матрицу $\mathbf{R}_\alpha = \text{diag}\{r_\alpha(1), r_\alpha(2), \dots, r_\alpha(N_\varphi)\}$ размером $N_\varphi \times N_\varphi$ и вектор $\tilde{\mathbf{y}}_1 = [\tilde{y}(1), \tilde{y}(2), \dots, \tilde{y}(N_\varphi)]^T$, составленный из первых N_φ проекций вектора \mathbf{y} . Тогда \mathbf{x}_α доставляет минимум функционалу

$$F_\alpha(\mathbf{x}) = \mathbf{x}^T \mathbf{R}_\alpha^{-1} \mathbf{x} - 2\mathbf{x}^T \tilde{\mathbf{y}}_1 + \text{const.}$$

Обозначив $\mathbf{D}_\alpha = 2\mathbf{R}_\alpha^{-1}$, $\mathbf{d} = -2\tilde{\mathbf{y}}_1$ и учитывая ограничения (6), приходим к задаче квадратического программирования, а именно:

найти N_φ -мерный вектор \mathbf{x}_α^* , доставляющий минимум функционалу

$$F_\alpha(\mathbf{x}) = \frac{1}{2} \mathbf{x}^T \mathbf{D}_\alpha \mathbf{x} + \mathbf{x}^T \mathbf{d} + \text{const} \quad (7)$$

при ограничении $\mathbf{G}\mathbf{V}\mathbf{x} \leqslant \mathbf{g}$.

Двойственная по Лагранжу задача [6] состоит в максимизации функционала

$$\Psi_\alpha(\mu) = \inf_{\mathbf{x}} \left\{ \frac{1}{2} \mathbf{x}^T \mathbf{D}_\alpha \mathbf{x} + \mathbf{x}^T \mathbf{d} + \mu^T (\mathbf{G}\mathbf{V}\mathbf{x} - \mathbf{g}) \right\} \quad (8)$$

при ограничении

$$\mu \geqslant 0,$$

где μ — вектор размерности N_g ; $\mathbf{0}$ — нулевой вектор той же размерности. При $\alpha > 0$ матрица \mathbf{D}_α положительно определена, т. е. $\mathbf{x}^T \mathbf{D}_\alpha \mathbf{x} > 0$ для

любого ненулевого вектора \mathbf{x} . Поэтому при фиксированном векторе μ функционал $\Psi_\alpha(\mu)$ достигает минимума по \mathbf{x} в единственной точке, удовлетворяющей равенству: $D_\alpha \mathbf{x} + \mathbf{V}^T \mathbf{G}^T \mu + \mathbf{d} = \mathbf{0}$. Для положительно-определенной матрицы D_α существует обратная матрица $D_\alpha^{-1} = \frac{1}{2} \mathbf{R}_\alpha$, и тогда решение этого уравнения имеет вид

$$\mathbf{x} = -\frac{1}{2} \mathbf{R}_\alpha (-2\tilde{\mathbf{y}}_1 + \mathbf{V}^T \mathbf{G}^T \mu) = \mathbf{x}_\alpha - \frac{1}{2} \mathbf{R}_\alpha \mathbf{V}^T \mathbf{G}^T \mu. \quad (9)$$

Подставляя это решение в (8) и выполнив некоторые преобразования, двойственную по Лагранжу задачу можно сформулировать следующим образом:

найти вектор μ^* размерности N_g , доставляющий минимум функционала

$$\tilde{\Psi}_\alpha(\mu) = \frac{1}{4} \mu^T \mathbf{G} \mathbf{V} \mathbf{R}_\alpha \mathbf{V}^T \mathbf{G}^T \mu - \mu^T (-\mathbf{g} + \mathbf{G} \mathbf{V} \mathbf{x}_\alpha) + \text{const} \quad (10)$$

при ограничении $\mu \geqslant \mathbf{0}$.

После вычисления μ^* решение \mathbf{x}_α^* задачи (7) находится из выражения

$$\mathbf{x}_\alpha^* = \mathbf{x}_\alpha - \frac{1}{2} \mathbf{R}_\alpha \mathbf{V}^T \mathbf{G}^T \mu^* \quad (11)$$

и состоит из двух слагаемых: регуляризованного решения \mathbf{x}_α , полученного безусловной минимизацией функционала $F_\alpha(\mathbf{x})$, и вектора, зависящего от решения μ^* двойственной задачи (10). Очевидно, что если $\mu^* = \mathbf{0}$, то $\mathbf{x}_\alpha^* = \mathbf{x}_\alpha$. Введем вектор $\mathbf{q} = \mathbf{G} \mathbf{V} \mathbf{x}_\alpha - \mathbf{g}$, проекции которого $q(i) \leqslant 0$, если удовлетворяется i -е ограничение системы (6). Покажем, что если $q(i) < 0$, то $\mu^*(i) = 0$. Предположим обратное, т. е. $\mu^*(i) > 0$. Тогда $(-\mu^*(i) q(i)) > 0$, и, уменьшая $\mu^*(i)$, можно уменьшить величину функционала $\tilde{\Psi}_\alpha(\mu)$, т. е. $\mu^*(i)$ не является уже решением задачи (10). При $q(i) = 0$ $\mu^*(i) \geqslant 0$, и если $q(i) > 0$ (i -е ограничение не выполняется), то $\mu^*(i) > 0$.

Приведем запись двойственной задачи для распространенного случая, когда решение φ неотрицательно, т. е. $\varphi \geqslant \mathbf{0}$, $\mathbf{G} = -\mathbf{I}$, $\mathbf{g} = \mathbf{0}$. Тогда

$$\tilde{\Psi}_\alpha(\mu) = \frac{1}{4} \mu^T \mathbf{V} \mathbf{R}_\alpha \mathbf{V}^T \mu + \mu^T \mathbf{V} \mathbf{x}_\alpha + \text{const},$$

вектор $\mu \geqslant \mathbf{0}$ имеет размерность N_φ , а $\mathbf{x}_\alpha^* = \mathbf{x}_\alpha + \frac{1}{2} \mathbf{R}_\alpha \mathbf{V}^T \mu^*$.

Таким образом, построение регуляризованного решения Φ_α^* , удовлетворяющего ограничениям $\mathbf{G}\varphi \leqslant \mathbf{g}$ на основе сингулярного разложения матрицы \mathbf{K} , можно представить следующими этапами:

вычисление регуляризованного решения \mathbf{x}_α ;

проверка ограничений $\mathbf{G} \mathbf{V} \mathbf{x}_\alpha \leqslant \mathbf{g}$;

если выполняются эти ограничения, то $\mathbf{x}_\alpha^* = \mathbf{x}_\alpha$;

если ограничения нарушаются, то находится решение μ^* двойственной задачи (10) и вычисляется \mathbf{x}_α^* по формуле (11);

построение вектора решения $\Phi_\alpha^* = \mathbf{V} \mathbf{x}_\alpha^*$.

Учет априорной информации, задаваемой системой неравенств (6), делает описанный алгоритм построения Φ_α^* нелинейным и обуславливает более высокую разрешающую способность алгоритма (по сравнению с линейным алгоритмом (4)). Результаты приводимого ниже вычислительного эксперимента иллюстрируют это замечание.

Результаты вычислительного эксперимента. Изложенный алгоритм построения регуляризованного решения (включая выбор параметра регуляризации и вычисление характеристик $D_{\Phi_\alpha}(j)$, $D_{f_\alpha}(j)$, Δ_α , K_α) реализован в виде комплекса SVDSYS, разработанного в Институте теоретической и прикладной механики СО АН СССР и состоящего из взаимо-

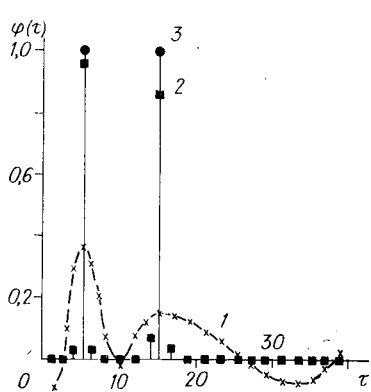


Рис. 1. Векторы решений:

1 — решение φ_α ; 2 — φ_α^* ; 3 — точное решение φ

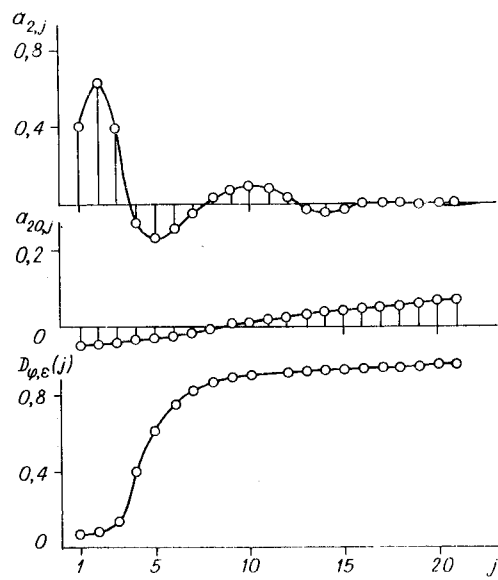


Рис. 2. Элементы матрицы рассеяния A_α и значения характеристики $D_{\varphi,e}(j)$

связанных подпрограмм, написанных на алгоритмическом языке Фортран-IV. Приведем некоторые результаты применения этого комплекса в вычислительном эксперименте по решению интегрального уравнения

$$\int_1^{40} \exp(-t/\tau) \varphi(t) dt = f(t), \quad t \in [1, 40], \quad (12)$$

возникающего при интерпретации экспериментальных данных, полученных при исследовании потоков жидкостей фотон-корреляционным методом [7]. Уравнение аппроксимировалось СЛАУ (1) с $N_\varphi = 21$, $N_f = 60$. Максимальное сингулярное число $\lambda_{\max} = 30$, минимальное — $\lambda_{\min} = 10^{-12}$. Отношение $\lambda_{\max}/\lambda_{\min} = 3 \cdot 10^{13}$ характеризует плохую обусловленность аппроксимирующей матрицы K . Искомое решение $\varphi(\tau) \geq 0$ задавалось в виде двух сдвинутых импульсов единичной амплитуды (рис. 1), а соответствующая правая часть искажалась шумом с относительным уровнем 1 %.

Первоначально строился вектор регуляризованного решения φ_α (см. рис. 1). Параметр α выбирался из критерия оптимальности [4]. Так как при построении φ_α априорная информация $\varphi \geq 0$ не учитывалась, то часть проекций вектора φ имеет отрицательные значения. На рис. 2 приведены элементы 2-й и 20-й строк матрицы рассеяния A_α , которые показывают, что степень искажения, вносимая регуляризацией, различна и увеличивается по мере возрастания τ (или индекса j проекций вектора решения). Для величины $\varepsilon = 10^{-3}$ размерность $n_\varepsilon = 16$, а соответствующие значения $D_{\varphi,e}(j)$ приведены на рис. 2. Видно, что для $j > 6$ проекции регуляризованного решения φ_α имеют дефект, близкий к единице, а следовательно, и плохую информационную обеспеченность. Эти два факта характерны для регуляризованных решений уравнения (12).

На рис. 1 показано решение φ_α^* , построенное с учетом априорной информации $\varphi \geq 0$. При этом параметр регуляризации был уменьшен на два порядка, так как учет положительности вносит дополнительную «регуляризацию» решения. Видно, что φ_α^* достаточно хорошо приближает точное решение. Затраты машинного времени (ЭВМ БЭСМ-6) для построения решения φ_α^* и вычисления характеристик $D_{\varphi,e}(j)$, $D_{f,e}(j)$, $\Delta_\alpha(j)$, $K_\alpha(j)$ составили ~ 70 с.

Автор считает приятным долгом выразить благодарность А. Н. Намочкину за участие в вычислительном эксперименте.

3. Форсайт Дж., Маколм М., Моулер К. Машинные методы математических вычислений.— М.: Мир, 1980.
4. Воскобойников Ю. Е., Мицель А. А. Построение устойчивого решения плохо обусловленных систем алгебраических уравнений при случайных погрешностях в исходных данных // Автометрия.— 1982.— № 2.
5. Воскобойников Ю. Е., Преображенский Н. Г. Разрешающая способность и синтез одного класса алгоритмов вычислительной томографии // Электронное моделирование.— 1986.— № 6.
6. Базара М., Шетти К. Нелинейное программирование. Теория и алгоритмы.— М.: Мир, 1982.
7. Photon Correlation Technique in Fluid Mechanics // Proc. of the 5th. Intern. Conf./ Ed. E. O. Schultz.— Dubois: Springer-Verlag, 1983.

Поступила в редакцию 22 января 1987 г.